

قابلية اطيان الكاولين في امتزاز الانلين والاورثونايتراتين والاورثوتوليدين

سعدون عبد العزيز عيسى، سعد عزيز حسن و خولة كاتي جاسم
الكلية الطبية العراقية ، جامعة النهرين
قسم الكيمياء ، كلية التربية للبنات ، جامعة الكوفة
قسم الكيمياء ، كلية علوم المثنى ، جامعة القادسية

الخلاصة

اشتمل البحث على دراسة امتزاز الانلين والاورثونايتراتين والاورثوتوليدين من محاليلها المائية على سطح اطيان الكاولين البيضاء العراقية وباستعمال طريقة طيفية وكان الامتزاز من نوع (S4,S3) حسب تصنيف جيلز الذي يتفق مع معادلة فرندلش للامتزاز (كما كان في الجزء الاول من البحث).

تمت دراسة اثر المجاميع الدافعة والساحبة للالكترونات المعاوضة في الحلقة الاورماتية، وتبيّن انخفاض سعة امتزاز المشتقات المعاوضة على الحلقة مقارنة بالمركب الاصلي من جهة، ولوحظ ان المجاميع الدافعة للالكترونات تقلل من سعة الامتزاز مقارنة بالمجاميع الساحبة للالكترونات من جهة اخرى.

ودرس تأثير درجة الحرارة في عملية الامتزاز واوضحت النتائج ان الامتزاز يزداد بزيادة درجة الحرارة اي ان العملية ماصة للحرارة (Endothermic).

وأوضح ان الامتزاز على سطح اطيان الكاولين تحت دراسة تأثير حامضية المحلول بالنسبة الى الانلين والاورثوتوليدين يتبع التسلسل الاتي :-

$$\text{pH} \quad 4 > 11 > 7$$

اما بالنسبة الى الاورثو نايترو والنيلين يتبع التسلسل الاتي:-

pH 11 > 4 > 7

المقدمة

تهدف عملية معالجة مياه فضلات المجاري والفضلات الصناعية الى الاقل من كمية المواد الصلبة العالقة والبكتيريا والمواد المستهلكة للأوكسجين في المياه العادمة وتساعد المعالجات المختلفة على جعل الماء ذي محتوى عضوي واطئ ومناسب للتصرف الى المسالك المائية دون التسبب في أي تلوث.

ان مرحلة المعالجة الاولية للمياه في أي وحدة معالجة تتضمن إزالة المواد الصلبة العالقة والطاافية التي تترسب بسهولة، بينما تتضمن المعالجة الثانوية استعمال معالجات بایولوجي مثل الترشيح البایولوجي (Trickling Filters) والحمأة المنشطة (Activated Sludge) وتعتمد الطريقة على قيام الاحياء المجهرية مثل البكتيريا وغيرها تحويل الشوائب العضوية من خلال تفاعلات بایوكيميائية.

ان مرحلتي المعالجة الاولية والثانوية غير قادرتين على ازالة المواد العضوية الذائبة بصورة مرضية ، لذلك استعملت طرائق عديدة (معالجة ثالثة) تهدف الى رفع جودة المياه الخارجة من محطات المعالجة التقليدية بحيث يمكن استخدامها مباشرة فضلا عن الى الوصول الى طرائق كيميائية - فيزيائية، يمكن ان تتفوق على الطرائق البيولوجية المستعملة او للوصول الى الجودة بكلفة أقل (1) ، ومن هذه الطرق طريقة الامتزاز وهي الطريقة الاكثر استعمالا لازالة الملوثات ذي التراكيز الواطنة ، غالبا ما يستعمل الكاربون المسامي لغرض ازالة التلوث والرائحة والطعم الغريبين من المياه الملوثة (2) ، ومن المواد الاخرى المستعملة في ازالة التلوث هلام السيليكا والالومينا والزيوليت وسطح اطبان المسامية (3-6) اذا اثبتت اطبان كفاية عالية في ازالة الملوثات العضوية كما اشارت بعض الدراسات العراقية الى ذلك (7) .

ويهدف البحث الحالي الى دراسة امتراز الانلين والاورثونايترو والنيلين والاورثوتوليدين على سطح اطبان الكاوزولين العراقي وهذا العمل جاء مكملا لما انجز في الجزء الاول من البحث.

الجزء العملي

الأجهزة المستخدمة

استخدمت الأجهزة الآتية في هذه الدراسة:-

- مطياف الأشعة المرئية / فوق البنفسجية نوع

Schemad zu,U.V-100-02,U.V-Vis

- جهاز قياس الاس الهيدروجيني HANA,pH-meter ,Portugal

- جهاز الطرد المركزي Centerifuge/Megafuga 1.0/Herouse Sepatech

- حمام مائي مزود بجهاز مسيطر على درجة حرارته

Shaking Inducator .GCA/percision scientific chicago,V.S.A

- ميزان حساس Germany-Sartorius Median

- فرن تجفيف من نوع Memort/W.Germany

المواد الكيميائية

استعملت المواد الكيميائية المذكورة في الجدول (1) التي لم تجر لها عملية تنقية مضافة قبل استعمالها

طريقة العمل

- تهيئة الكاولين

جمعت اطيان الكاولين البيضاء التي استعملت في هذا البحث في منطقة بحر النجف، وتبين من دراسة حيوان الاشعة السينية ان الكاولينيت هو المعدن الرئيس لاطيان الكاولين البيضاء، ويبيّن الجدول (2) نتائج التحليل الكيميائي لنماذج اطيان الكاولين المستعملة.

اختر انموذج الطين الجيد بالاعتماد على خصائصه العامة مثل خفة وزنه وخلوه من الشوائب اذ جفف في فرن بدرجة حرارة 150°C مدة ثلاثة ساعات لازالة الرطوبة (13). ثم بعد ذلك طحن مسحوق الكاولين واخضع الى عملية فرز الاحجام باستخدام

المناخ، وتم فرز الانموذج ذو المقاس الحبيبي الاقل من (125) ميكرون ثم وضعت العينات في المجف(desicator) لحين الاستعمال.

- تحضير المحاليل القياسية

حضرت محاليل المركبات بأذابة(0.5gm) من كل مادة في(1000ml) من الماء المقطر اللايوني وذلك لتحضير محلول بتركيز (500ppm) ومن هذه المحاليل المركزية حضرت المحاليل المخففة لكل مركب وبتركيز تراوح بين (10-100ppm)، وذلك باخذ الحجم المناسب من محلول المركز وتخفيف بالماء المقطر اللايوني، كما وضعت هذه في حمام مائي بدرجة (25°C) مدة (24) ساعة كي تتجانس.

- تعين λ_{max} ومنحني المعاير

لتعين منحني المعايرة الذي يحدث فيه أعلى امتصاص (λ_{max}) سجل طيف الامتصاص لكل مركب باستخدام جهاز مطياف الاشعة المرئية/ فوق البنفسجية ضمن المدى (800-200nm) بأستعمال خلية من الكوارتز سمكها (1cm)، ولغرض التثبيت من صحة قيمة (λ_{max}) لكل مركب تم الرجوع إلى الأدبيات المقارنة (14) ولتعين منحني المعايرة حضرت عشرة تركيزات متتالية (10-100ppm) من محلول المائي لكل مركب وحسب نوع المركب تم تثبيت (λ_{max}) لكل مركب وقياس الامتصاص لها. ثم رسم المنحني القياسي بين الامتصاصية والتركيز للحصول على منحني المعايرة. ويمثل الجدول (3) قيمة (λ_{max}) للمركبات المستعملة.

- تحديد الزمن لحدوث الاتزان

ولغرض تحديد الزمن اللازم لحدوث الاتزان بين السطح الماء والمادة الممتازة اختبرت بعض التركيز المناسبة في كل مركب وفي تماس مع (0.2gm) من مسحوق الطين عند درجة حرارة (25°C)، ثم أخذت عينات من كل مركب في مدة زمنية متتالية وتم تحليلها لمعرفة التغير في التركيز مع مرور الزمن فكان الزمن اللازم لحدوث الاتزان هو (2) ساعة.

- ايزوثيرمات الامتزاز

حضرت عشرة محاليل من كل مركب في قناني حجمية سعة (250ml) وبتركيز تراوح بين (10-100ppm) ثم أخذ منها (50ml) ووضعه في تماس مع (0.2gm) من

مسحوق الطين ذي المقاس الحبيبي الأقل من (125) ميكرون في أنابيب اختبار كبيرة ووضعت هذه الأنابيب في جهاز هزار بدرجة حرارة (25°C) مدة (2) ساعة، بعدها تم ترشيح المحاليل ثم وضعت في جهاز الطرد المركزي لمدة (30min) وبسرعة (4000rpm) وبعد الفصل حدد تركيز كل محلول من منحني المعايرة باستخدام جهاز مطياف الأشعة المرئية/ فوق البنفسجية وبعدها حسبت كمية المادة الممتازة بموجب العلاقة (15)

$$Q_e = \frac{Vs_{sol}/(Co-Ce)}{M}$$

V_{sol} = الحجم الكلي لمحلول المادة الممتازة (l)

M = وزن المادة المازة (g)

C_0 = التركيز الابتدائي لمحلول المادة الممتازة (mg/l)

C_e = التركيز عند الاتزان لمحلول المادة الممتازة (mg/l)

Q_e = كمية المادة الممتازة (mg/g)

النتائج والمناقشة

ایزوثيرمات الامتزاز

يبين الجدول (3) كمية المادة الممتازة (Q_e) لكل مركب على سطح اطيان الكاولين البيضاء مقابل تركيز الاتزان (C_e) بدرجة حرارة 298k، وتبين الشكل (1) ایزوثيرمات الامتزاز لهذه المركبات، كما في الجزء الاول فأن الشكل العام لایزوثيرمات الامتزاز يشير الى انها من النوع S4,S3 حسب تصنيف جيلز (Giles) الذي يستند الى اساسيات فرنلش لامتزاز مما يشير الى ان سطح المادة هو سطح غير متجانس (8) كما يمكن الاستدلال من هذه الایزوثيرمات الى ان تداخل المادة الممتازة مع السطح يجري عبر قوى يمكن ان تتضمن التأثير الهيدروجيني او التشتت ، وكذلك يدل شكل الایزوثيرم على زيادة كمية الامتزاز بزيادة تركيز الاتزان (9) .

ان طبيعة وسلوك الاطيان داخل محلول يمكن ان تفسر على اساس توفير عدد من المراكز الفعالة لامتزاز نظرا لأمتلاك الاطيان شحنة سطحية سالبة وآخرى موجبة، أي

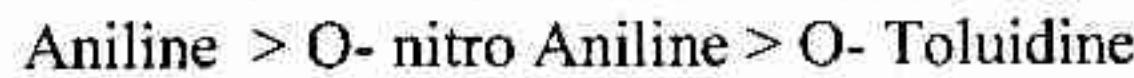
ان دقائق الطين تمتلك طبقة كهربائية مزدوجة وبذلك ينتج نوعين متعاكسين من المحاولات تؤدي الاولى الى التجاذب الكهربائي بين السطح المشحون بالشحنة السالبة والجزيئات المشحونة بالشحنة الموجبة الذي يعمل على سحب الجزيئات الموجبة الى الداخل لاجل الحصول على ادنى مستوى من الطاقة. ما الثانية فتؤدي الى الحركة البروتوانية لجزيئات السائل والتي تقضي الى انتشار الجزيئات الممتازة الى الخارج في محاولة لمساواة التركيز، الامر الذي يؤدي الى تعاظم العشوائية على سطح الطين .

ان الطبقة الانتشرية المزدوجة تتأثر بتركيز محلول فزيادة تركيزه يقلل من سمك الطبقة المزدوجة، يتضح من هذا أن محلول قد يمتر على سطح الاطين بميكانيكيات مختلفة ومعقدة قد تشمل على التجاذب الكهربائي لجزيئات القطبية لأن وجود الشحنة على سطح المادة الممتازة يعتمد على الجهد الكهربائي الذي يجذب الشحنة المعاكسة ويبعد الشحنة المتشابهة وعند ازدياد المسافة بين الشحنة والسطح المشحون يقلل بقليل جهد السطح .

ان قوة امتراز الطين لجزيئات محلول تكون اكبر وبشكل اوضح للطبقة الاولى من الجزيئات وقد ترتبط الطبقة الثانية الى الاولى بالتأثر الهيدروجيني والثانية الى الثالثة وهكذا (10).

اثر المجاميع المعوضة في امتراز الانلين

تمت دراسة ايزوثيرمات الامتراز لكل من الانلين والاورثونوليدين والاورثونوليدين ويوضح الشكل(1) ان الامتراز يزداد على وفق الترتيب الآتي:



ويمكن تفسير هذا السلوك الى ان عدم وجود مجموعة معوضة على حلقة الانلين يجعلها مستقرة أكثر حيث يكون توجه الجزيئ عموديا على السطح ومن ثم احتلالها مساحة صغيرة، بينما عند التعويض بمجموعة ساحبة سوف يسبب اعاقة فراغية لجزيئه ومن ثم يجر الجزيئ على ان تتوجه بشكل موازي للسطح، حيث ترتبط الجزيئ بموقع اضافي عن طريق المجموعة المعوضة مع السطح ومن ثم احتلالها مساحة سطحية كبيرة تعمل على تقليل امترازها على السطح تكون مجموعه (NO₂) - ساحبة للاكترونات فسوف تعمل على زيادة الالفة الالكترونية للحلقة ومن ثم تكون معقدا مستقرا على السطح مما يزيد من امترازه عند مقارنته بمركب(O-Toluidine) المعوض بمجموعة دافعة

للاكترونات (-CH₃)، اذ تعمل هذه المجموعة على تقليل الالفة الاlectرونية للحلقة مما يقلل من استقرارية المعدن المكون على السطح وبالتالي نقصان في سعة امترازه.

اثر درجة الحرارة في الامتراز

اجريت دراسة اثر درجة الحرارة في امتراز المركبات السابقة على سطح اطيان الكاولين البيضاء وفي المدى الحراري التجاري (298-328K)، تبين الجداول (4)، (5)، (6) ان امتراز هذه المركبات يزداد بزيادة درجة الحرارة اي ان العملية ماصة للحرارة، كما اشارت بعض الدراسات الى ذلك، وهذا قد يعطي دلالة على وجود عملية امتصاص (absorption)، اذ تنتشر الجزيئات المفترزة داخل المسام وتزداد سرعة انتشارها بزيادة درجة الحرارة وقد يرافق هذا الامتصاص عملية امتراز بمعنى حدوث ما يسمى بعملية (Sorption) وهذه النتيجة متوافقة مع بعض الدراسات التي اجريت على بعض المركبات العضوية (11).

تبين الاشكال (2)، (3)، (4) ايزوثيرمات الامتراز للمركبات الثلاثة قيد الدراسة وضمن المدى الحراري التجاري (298-328k)

حسبت قيمة (ΔH) من رسم قيم لوغارتم اعظم كمية ممترزه ($\log X_m$) مقابل درجة الحرارة ($1/T$) وذلك باستخدام القيم المدونة في الجدول (7) واستنادا الى المعادلة الآتية :

$$\log X_m = \frac{-\Delta H}{2.303 RT} + \text{Con.}$$

اذ تم الحصول على علاقة خطية كما في الاشكال (5)، (6)، (7) وكذلك حسبت قيمة (ΔG) من المعادلة الآتية:-

$$\Delta G = -RT \ln \left(\frac{Q_e}{C_e} \right)$$

ومنها تم الحصول على قيمة الانتروبي (ΔS) من علاقة الدينامية الحرارية الآتية (13)

$$\Delta G = \Delta H - T\Delta S$$

ويبيس الجدول (8) قيم (ΔH)، (ΔG)، (ΔS) بدرجة حرارة (298k).

تأثير الدالة الحامضية

تمت دراسة تأثير الدالة الحامضية للمحلول وعند قيم ($pH=4,7,11$) والجداول (9)، (10)، (11) توضح كمية الامتراز عند تلك القيم من الدالة الحامضية اذ اظهرت النتائج ان امتراز كل من الالئين والاورثوتوليدين تزداد مع تغير قيمة الدالة الحامضية وحسب الترتيب الآتي:-

$$pH \quad 4 > 11 > 7$$

ويعود سبب ذلك الى زيادة عدد الايونات الموجبة في الوسط الحامضي التي قد تتوجه الى المجاميع المعروضة على الحلقة الاروماتية، اما بالنسبة الى الاورثونايترواللين فوجد ان كمية الامتراز تزداد حسب الترتيب الآتي:-

$$pH \quad 11 > 4 > 7$$

ويعود سبب ذلك الى التداخل الاليكترونيستاتيكي بين المادة الممتازة وموقع السطح، وتبين الاشكال (8)، (9)، (10) ايزوثيرمات الامتراز عند قيم الدالة الحامضية ($pH=4,7,11$) للمركبات الثلاثة وبدرجة حرارة (298k).

References

- Chenph, (1997). Environment International, 23(1): 63-73.
- Jaronier,M. (1977). J.of Colloid and Interface sci,59 (2):230-242.
- Mchkay,G.; Otterburn,S.M. and Sweeney,A.G. (1980). Wat.Res.,14: 21-27.
- Malthijs,E. and Dehenau,H.(1985)."Tenside detergents":22(6): 299-304.
- Sircar,S. (1984).J.Chem .Soc.Faraday Trans.,80: 1101.
- Johnson, W.E. and Means, J.C. (1986).Env.Chem.,26:(1).
- محمد سجاد مهدي،(1999). دراسة قابلية اطيان الكلوولين والبنتونيات في امتراز بعض المركبات الفينولية من محاليلها المائية، جامعة بغداد، كلية التربية للبنات
- Giles, C.H.; Anthony, P.D. and Easton, S.I.),(1974). J.of Colloid and Interface Science,47:(3).
- Kipling, J.J. ,(1965)"Adsorption from solution of non-Electrolytes", Academ Press, London
- Hillel, D. (1980). "Fundamentals of Soil Physics", Academic Press, New york,p.45- 400.

11. Rovi, V.P.; Jasra, R.V. and Bhat. T.S.G. (1998). J.Chem.Technol.Biotechnol 71:173-179
12. Weber, W.J.; Asce, A.M.; Morris, J.C. and sanit, T. (1963). Eng .Div. Am .Soc. Civ. Eng. 89(SA2),31.
13. Dancan, J.; Shaw, BSC.(1980). Introduction to Colloid and surface chem.,3rd ed.

جدول(1) يوضح بعض الخصائص الفيزيائية للمركبات الكيميائية المستعملة

| Compounds | Chemical Formula | M.wt gm/mol | Purity % | m.p. °C | b.p. °C | Density gm/cm ³ | Source |
|-----------------|---|-------------|----------|---------|---------|----------------------------|------------------|
| Aniline | C ₆ H ₇ N | 93.13 | 99.5 | -6.3 | 184.13 | 1.022 | Hopkin& Williams |
| o-nitro Aniline | C ₆ H ₆ N ₂ O ₂ | 132.13 | 99 | 48.5 | 331.73 | 1.424 | Hopkin& Williams |
| o-Toluidine | C ₇ H ₉ N | 107.16 | 99 | -23.7 | 200.23 | 1.573 | Hopkin& Williams |

جدول(2) قيم λ_{max} للمركبات الكيميائية المستعملة في الدراسة

| Compounds | λ_{max} | |
|-----------------|-----------------|---------|
| | Literature | Present |
| Aniline | 285 | 295 |
| o-nitro Aniline | 375 | 380 |
| o-Toluidine | 282 | 300 |

جدول(3) امترار المركبات العضوية المستعملة على سطح اطبان الكاوفولين بدرجة

حرارة 298K

| o-nitro Aniline | | | Aniline | | | o-Toluidine | | |
|-----------------|----|------|---------|----|------|-------------|----|------|
| Co | Ce | Qe | Co | Ce | Qe | Co | Ce | Qe |
| 20 | 15 | 1.25 | 10 | 4 | 1.05 | 10 | 5 | 1.25 |
| 30 | 25 | 1.25 | 20 | 8 | 3 | 20 | 14 | 1.5 |
| 40 | 32 | 2 | 30 | 18 | 3 | 30 | 23 | 1.75 |
| 50 | 44 | 1.5 | 50 | 39 | 2.75 | 40 | 32 | 2 |
| 60 | 53 | 1.75 | 70 | 53 | 4.25 | 50 | 41 | 2.25 |
| 70 | 60 | 2.5 | 80 | 58 | 5.5 | 60 | 49 | 2.75 |
| 80 | 67 | 3.25 | 90 | 62 | 7 | 70 | 59 | 2.75 |
| 90 | 75 | 3.75 | 100 | 67 | 8.25 | 80 | 68 | 3 |

Co and Ce are in (mg/l), Qe in (mg/g)

جدول(4) تأثير درجة الحرارة في امتزاز الالئين على سطح اطيان الكاوفولين ضمن المدى الحراري التجاري (298-328 K)

| 298K | | | 308K | | 318K | | 328K | |
|------|----|-----|------|-----|------|------|------|------|
| Co | Ce | Qe | Ce | Qe | Ce | Qe | Ce | Qe |
| 10 | 4 | 1.5 | 3.2 | 1.7 | 2.5 | 1.87 | 1.5 | 2.12 |
| 20 | 8 | 3 | 6 | 3.5 | 4 | 4 | 2 | 4.5 |
| 30 | 18 | 3 | 12 | 4.5 | 8 | 5.5 | 6.5 | 5.8 |
| 40 | 20 | 5 | 17 | 5.7 | 12 | 7 | 8 | 8 |
| 50 | 25 | 6.2 | 22 | 7 | 20 | 7.5 | 18 | 8.5 |

Co and Ce are (mg/l) ,Qe in(mg/g)

جدول(5) تأثير درجة الحرارة في امتزاز الاورثوتوليدين على سطح اطيان الكاوفولين

ضمن المدى الحراري التجاري (298-328 K)

| 298K | | | 308K | | 318K | | 328K | |
|------|----|------|------|------|------|------|------|------|
| Co | Ce | Qe | Ce | Qe | Ce | Qe | Ce | Qe |
| 10 | 5 | 1.25 | 4 | 1.5 | 3 | 1.7 | 2 | 2 |
| 20 | 14 | 1.5 | 8 | 3 | 5 | 3.75 | 3 | 4.25 |
| 30 | 24 | 1.5 | 18 | 3 | 13 | 4.25 | 10 | 5 |
| 40 | 32 | 2 | 27 | 3.25 | 25 | 3.75 | 19 | 5.25 |
| 50 | 40 | 2.5 | 34 | 4 | 28 | 5.5 | 24 | 6.5 |

Co and Ce are (mg/l) ,Qe in(mg/g)

جدول(6) تأثير درجة الحرارة في امتزاز الاورثونايتروانلين على سطح اطيان

الكاوفولين ضمن المدى الحراري التجاري (298-328 K)

| 298K | | | 308K | | 318K | | 328K | |
|------|----|------|------|------|------|------|------|------|
| Co | Ce | Qe | Ce | Qe | Ce | Qe | Ce | Qe |
| 10 | 2 | 2 | 1.5 | 2.1 | 1 | 2.2 | 1 | 2.2 |
| 20 | 15 | 1.25 | 12 | 2 | 7 | 3.25 | 4 | 4 |
| 30 | 25 | 1.25 | 21 | 2.25 | 16 | 3.5 | 9 | 5.25 |
| 40 | 32 | 2 | 28 | 3 | 22 | 4.5 | 18 | 5.5 |
| 50 | 44 | 1.5 | 36 | 3.5 | 31 | 4.7 | 26 | 6 |

Co and Ce are (mg/l) ,Qe in(mg/g)

جدول (7) قيم Log Xm و T (K) للانلين والأورثونيايتروانلين والأورثوتوليدين في المدى الحراري التجريبي (298- 328 K)

| Aniline | | α -nitro Aniline | | α -Toluidine | |
|---------|--------|-------------------------|--------|---------------------|--------|
| T(K) | Log Xm | T(k) | Log Xm | T(k) | Log Xm |
| 298 | 0.799 | 298 | 0.301 | 298 | 0.398 |
| 308 | 0.845 | 308 | 0.544 | 308 | 0.602 |
| 318 | 0.875 | 318 | 0.672 | 318 | 0.740 |
| 328 | 0.929 | 328 | 0.778 | 328 | 0.806 |

جدول (8) قيم (ΔH) و (ΔG) و (ΔS) بدرجة حرارة 298 كلفن لبعض المركبات العضوية.

| Compounds | ΔH (kJ.mol ⁻¹) | ΔG (kJ.mol ⁻¹) | ΔS (J.mol ⁻¹) |
|-------------------------|------------------------------------|------------------------------------|-----------------------------------|
| Aniline | 11.73 | 3.53 | 27.52 |
| α -nitro Aniline | 9.90 | 8.52 | 4.63 |
| α -Toluidine | 7.77 | 6.59 | 3.96 |

جدول (9) تأثير حامضية المحلول في امتصار الانلين على سطح اطبان الكاوفولين وبدرجة حرارة 298K

| pH = 4 | | | pH = 7 | | | pH = 11 | | |
|--------|------|------|--------|------|------|---------|----|----|
| Co | Ce | Qe | Co | Ce | Qe | Co | Ce | Qe |
| 10 | 3 | 1.75 | 4 | 1.5 | 3.2 | 1.7 | | |
| 20 | 11 | 2.25 | 8 | 3 | 11.5 | 2.1 | | |
| 30 | 20 | 2.5 | 18 | 3 | 20.5 | 2.3 | | |
| 50 | 41 | 2.25 | 39 | 2.75 | 41.5 | 2.1 | | |
| 60 | 45 | 3.75 | 50 | 2.5 | 49 | 2.7 | | |
| 70 | 49 | 5.25 | 53 | 4.25 | 53 | 4.2 | | |
| 80 | 53 | 6.75 | 58 | 5.5 | 58 | 5.5 | | |
| 90 | 58 | 8 | 62 | 7 | 53.5 | 7.8 | | |
| 100 | 58.5 | 10.3 | 67 | 8.25 | 62 | 9.5 | | |

Co and Ce are (mg/l), Qe in(mg/g)

جدول (10) تأثير حامضية المحلول في امتصار الاورثو توليدين على سطح اطبان الكاوفولين وبدرجة حرارة 298K

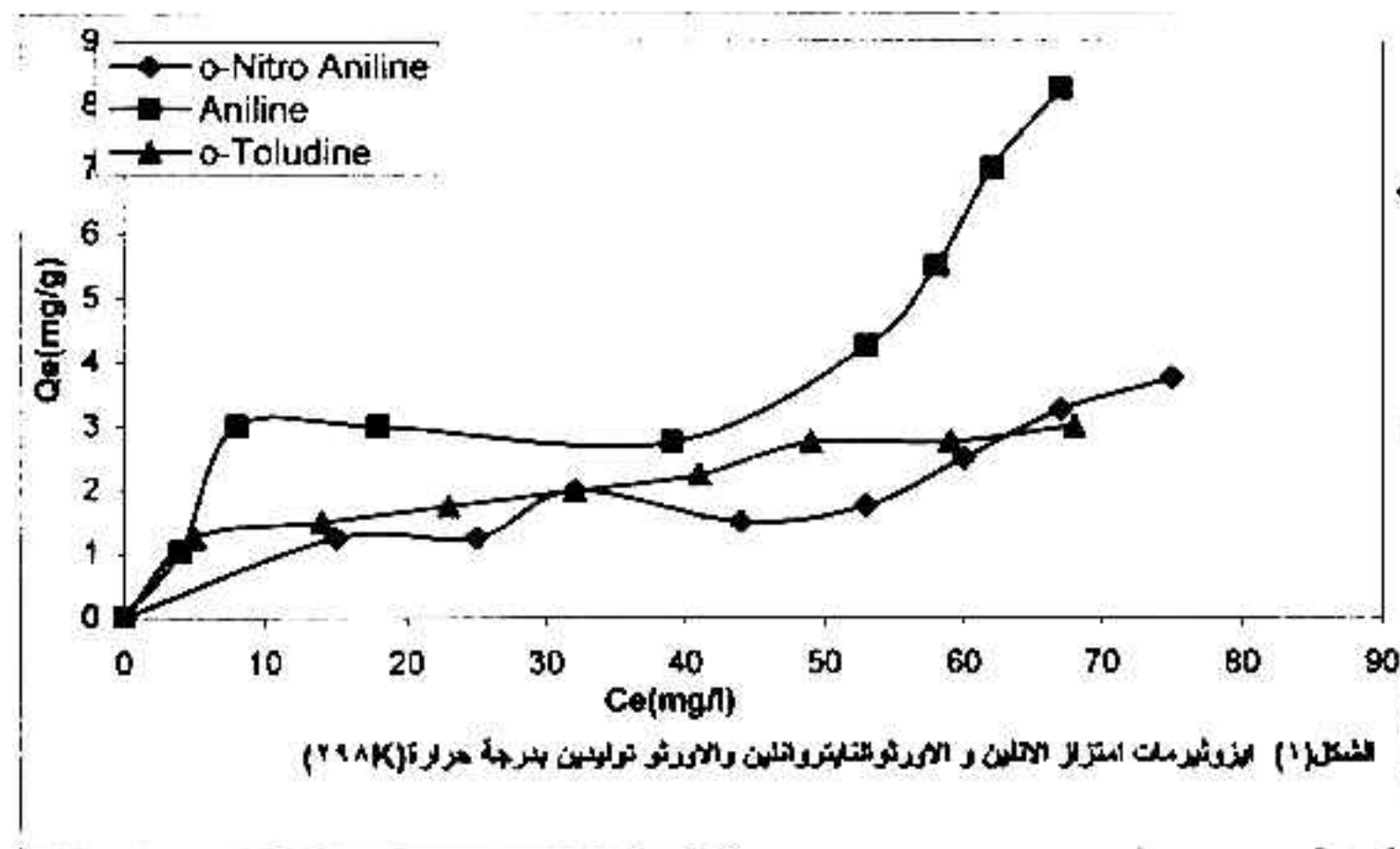
| pH = 4 | | | pH = 7 | | | pH = 11 | | |
|--------|----|------|--------|------|----|---------|----|----|
| Co | Ce | Qe | Co | Ce | Qe | Co | Ce | Qe |
| 10 | 3 | 1.75 | 5 | 1.25 | 4 | 1.5 | | |
| 20 | 6 | 3.5 | 14 | 1.5 | 10 | 2.5 | | |
| 30 | 17 | 3.25 | 23 | 1.75 | 19 | 2.75 | | |
| 40 | 27 | 3.25 | 32 | 2 | 28 | 3 | | |
| 50 | 33 | 4.25 | 41 | 2.75 | 37 | 3.25 | | |
| 60 | 42 | 4.5 | 49 | 2.75 | 43 | 4.25 | | |
| 80 | 58 | 5.5 | 68 | 3 | 60 | 5 | | |

Co and Ce are (mg/l), Qe in(mg/g)

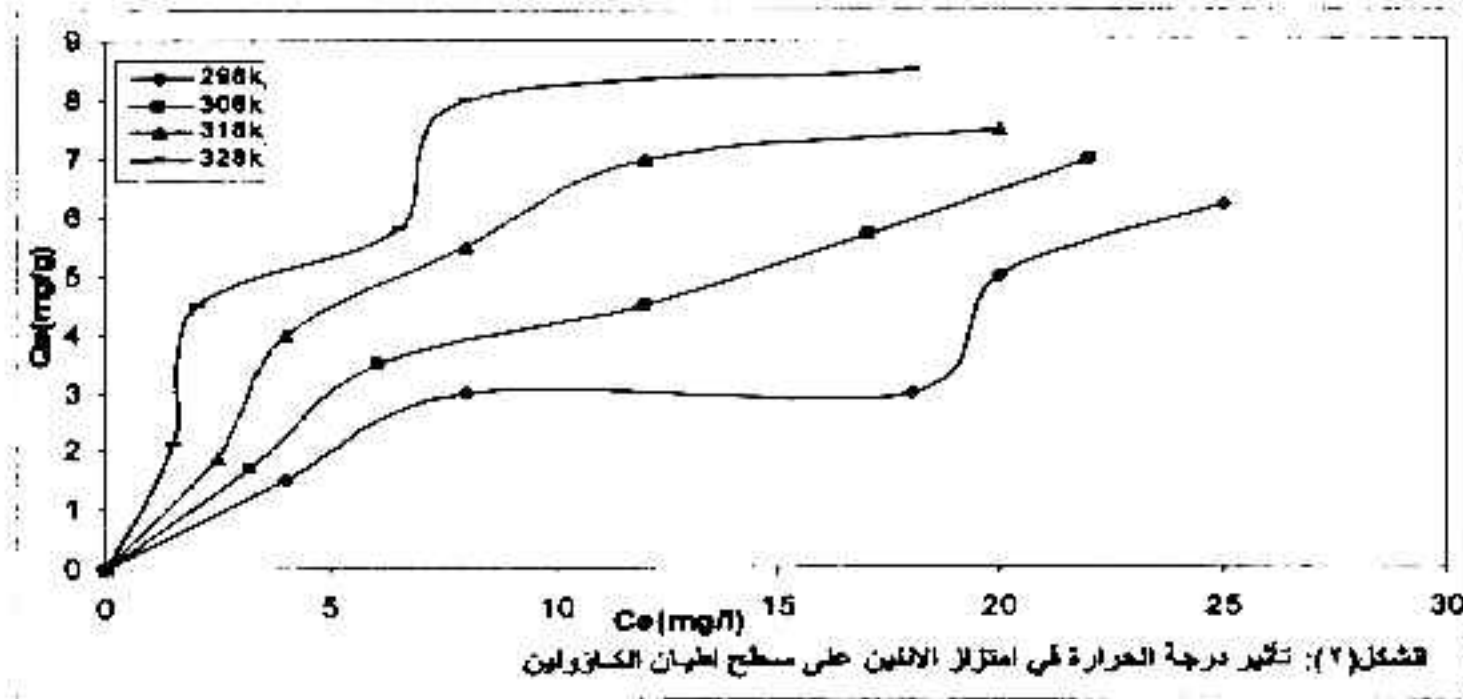
جدول (11) تأثير حامضية محلول في امتصاص الاورثونايترواتين على سطح اطيان الكافولين وبدرجة حرارة 298K

| pH = 4 | | | pH = 7 | | | pH = 11 | | |
|--------|----|------|--------|------|----|---------|------|--|
| Co | Ce | Qe | Ce | Qe | Ce | | Qe | |
| 10 | 5 | 1.25 | 2 | 2 | 2 | | 2 | |
| 20 | 8 | 3 | 15 | 1.25 | 5 | | 3.75 | |
| 30 | 15 | 3.75 | 25 | 1.25 | 11 | | 4.75 | |
| 40 | 22 | 4.5 | 32 | 2 | 20 | | 5 | |
| 50 | 30 | 5 | 44 | 1.5 | 27 | | 5.75 | |
| 60 | 44 | 4 | 53 | 1.75 | 39 | | 5.25 | |
| 80 | 59 | 5.25 | 67 | 3.25 | 56 | | 6 | |
| 90 | 65 | 6.25 | 75 | 3.75 | 62 | | 7 | |

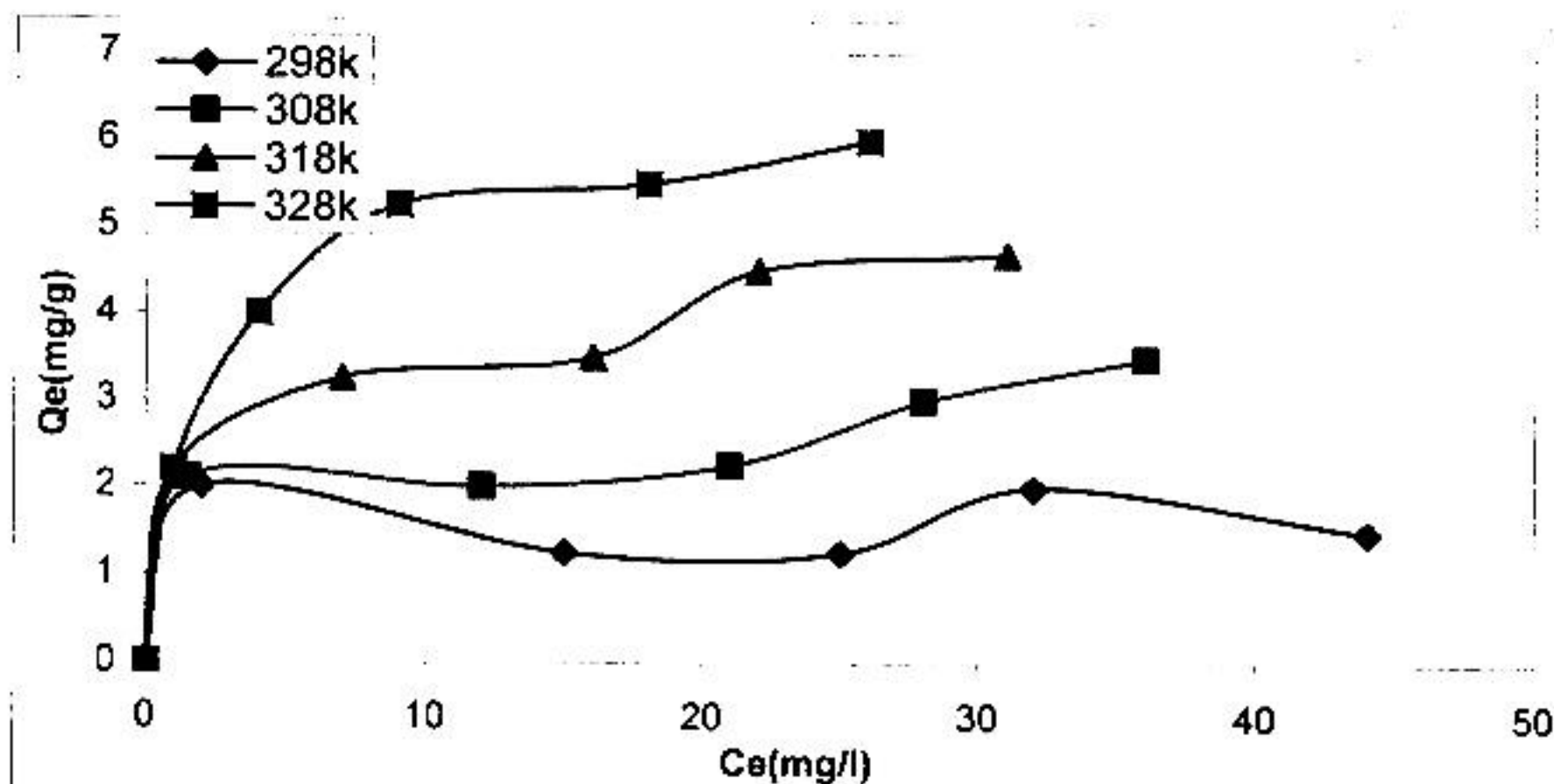
Co and Ce are (mg/l) , Qe in(mg/g)



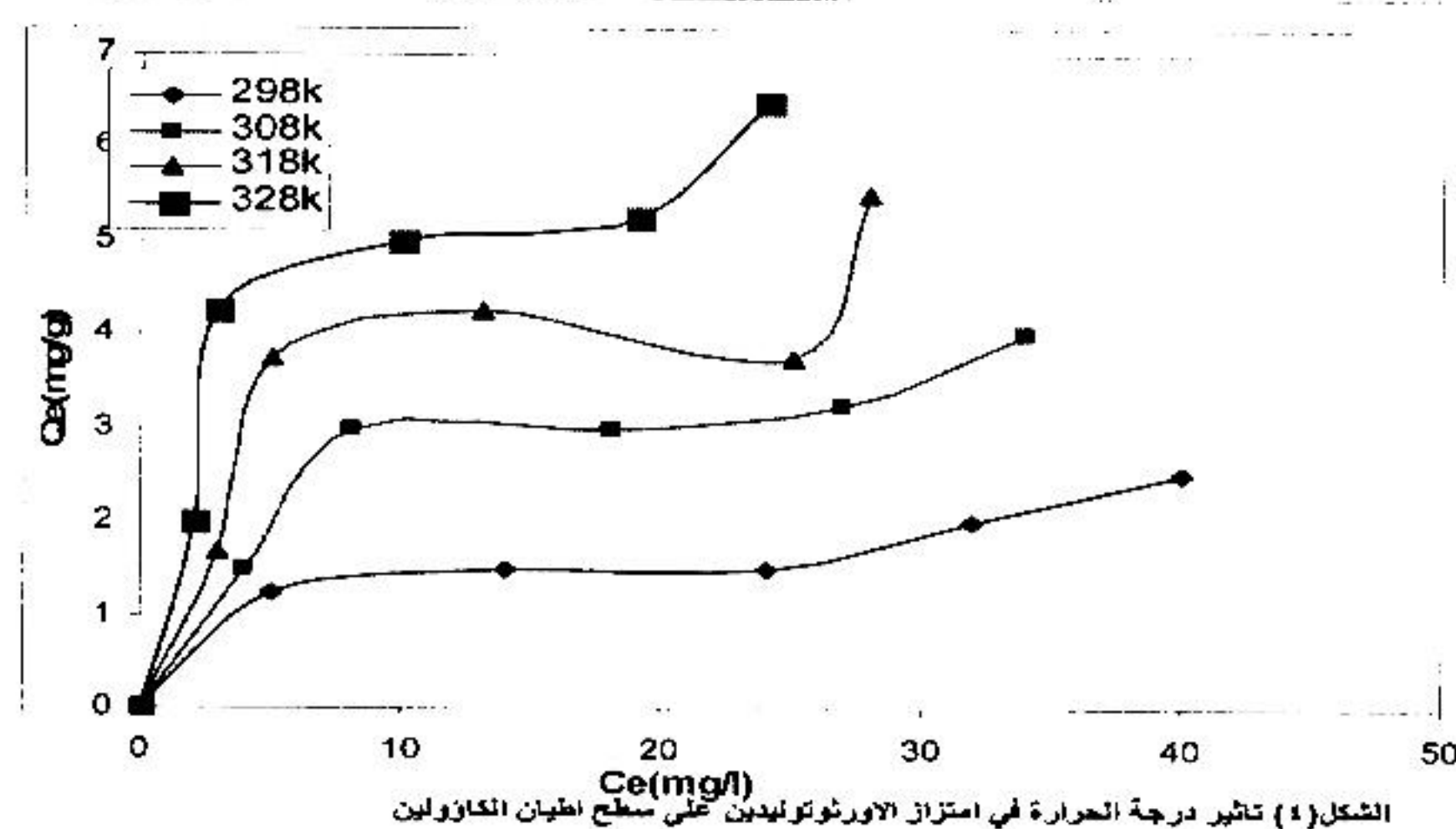
(الشكل ١) اثر درجات امتصاص الالين و الايرثروتوليدين و الايرثرو ناتريلين بدرجة حرارة (٢٩٨K)



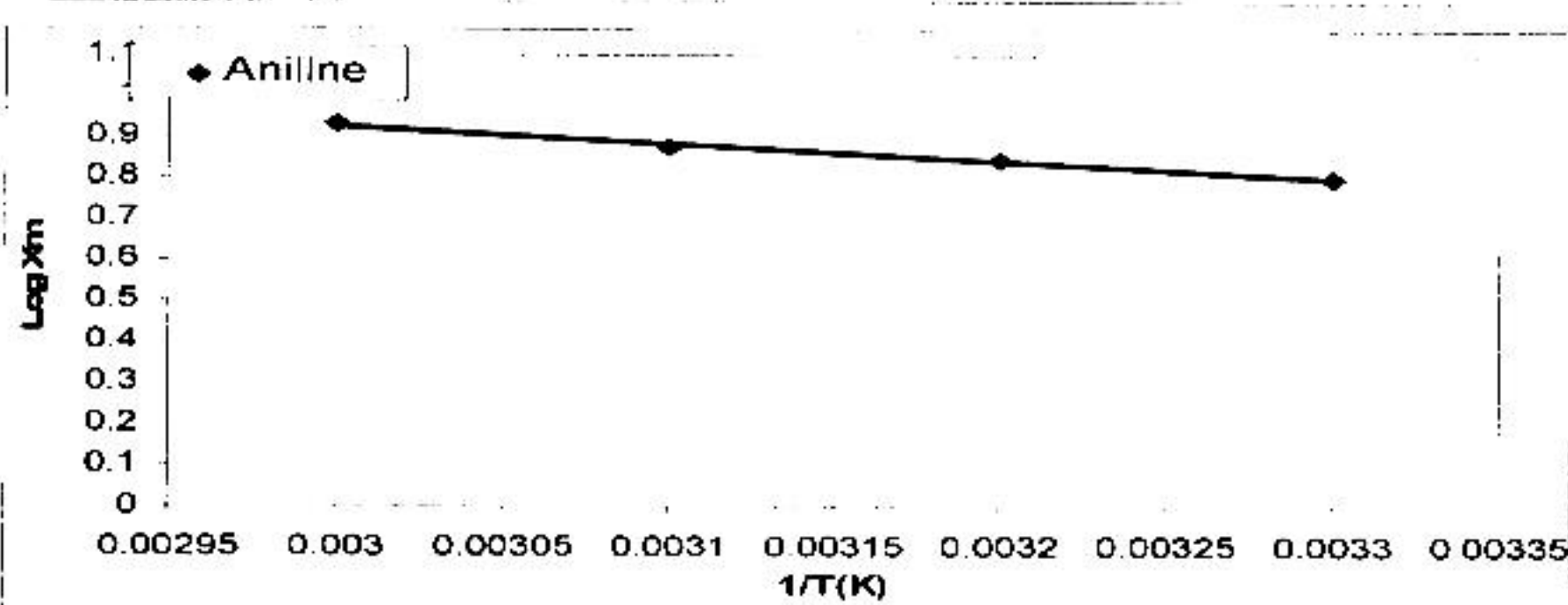
(الشكل ٢): تأثير درجة الحرارة في امتصاص الالين على سطح اطيان الكافولين



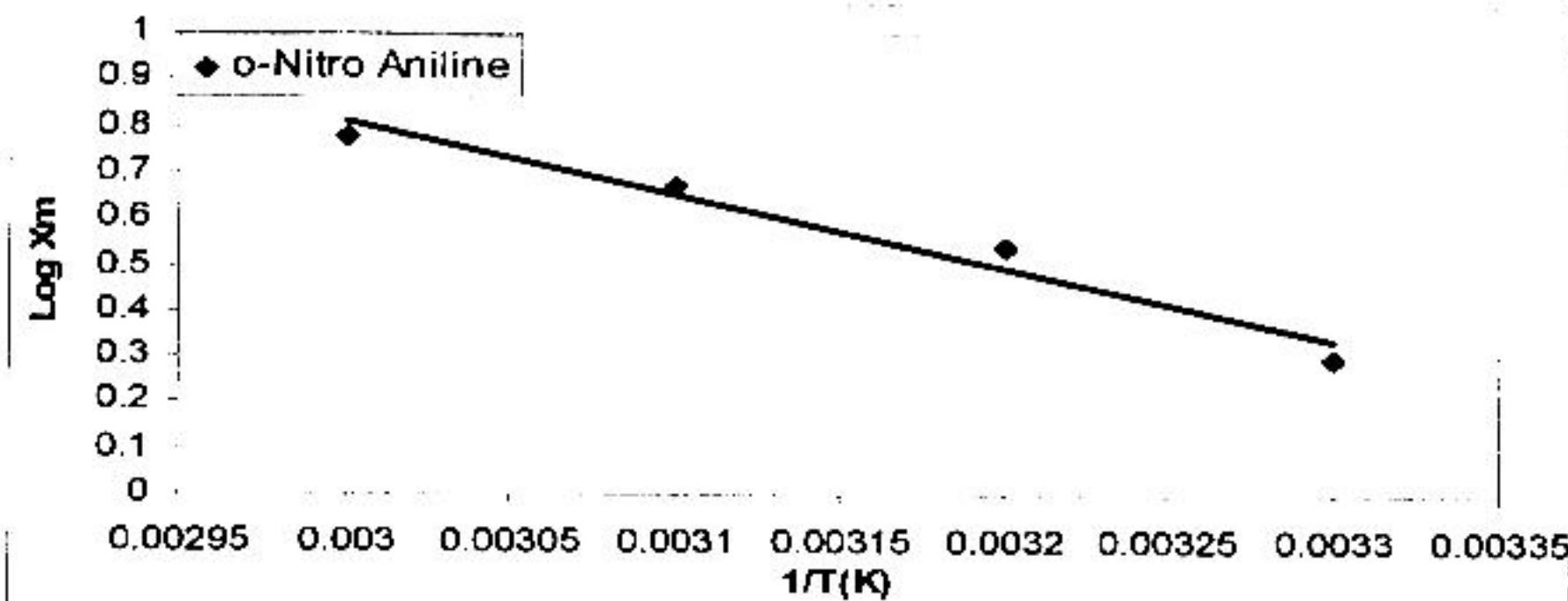
الشكل (٣) تأثير درجة الحرارة في امتصاص الناليترو ألين على سطح اطبان الكاولين



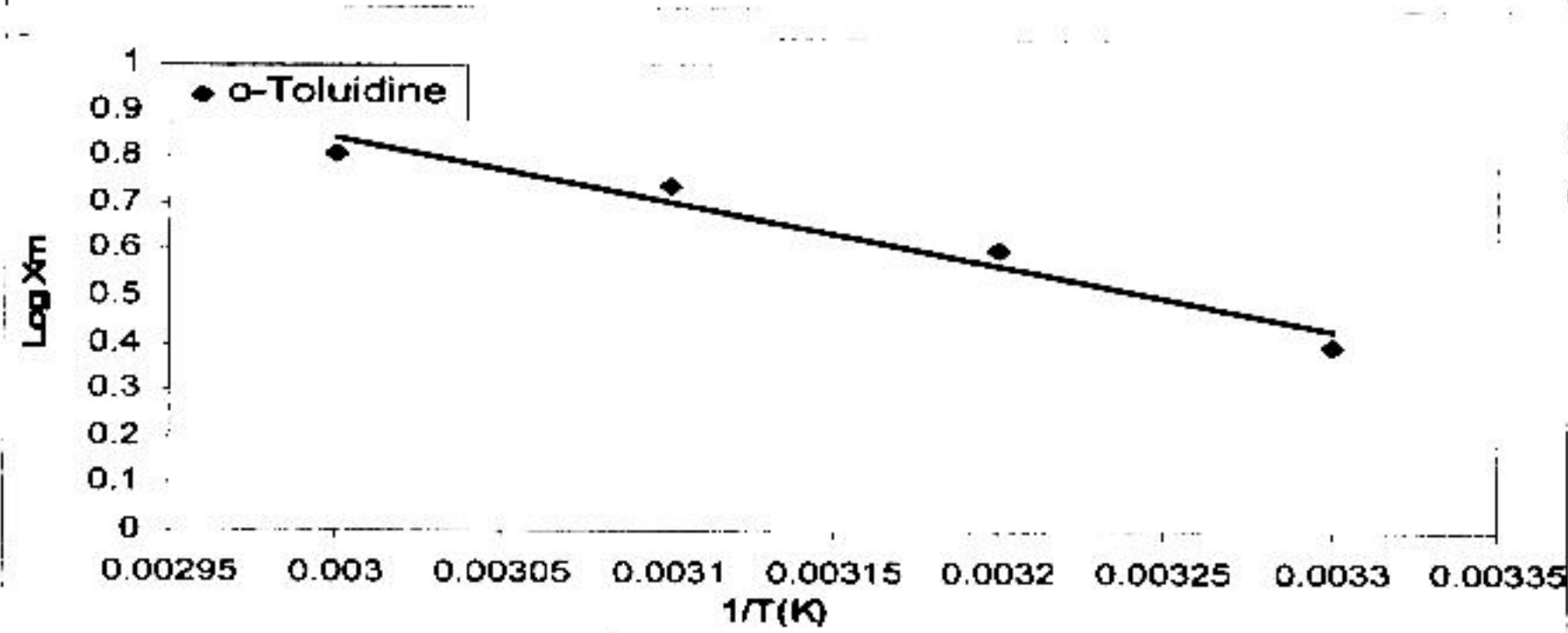
الشكل (٤) تأثير درجة الحرارة في امتصاص الأزروشوتوكيدين على سطح اطبان الكاولين



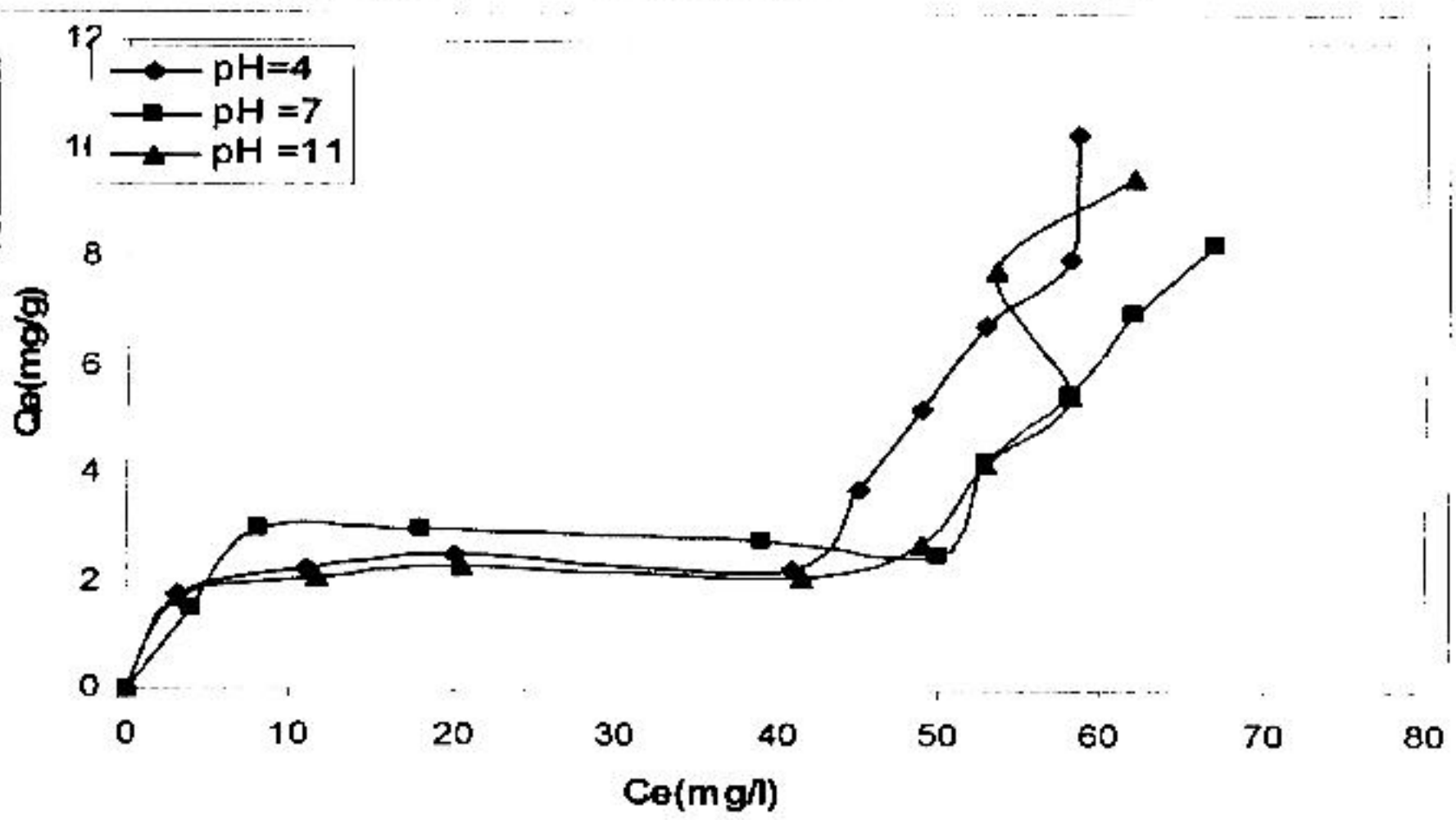
الشكل (٥) العلاقة بين $\log X_m$ ومقتوب درجة الحرارة



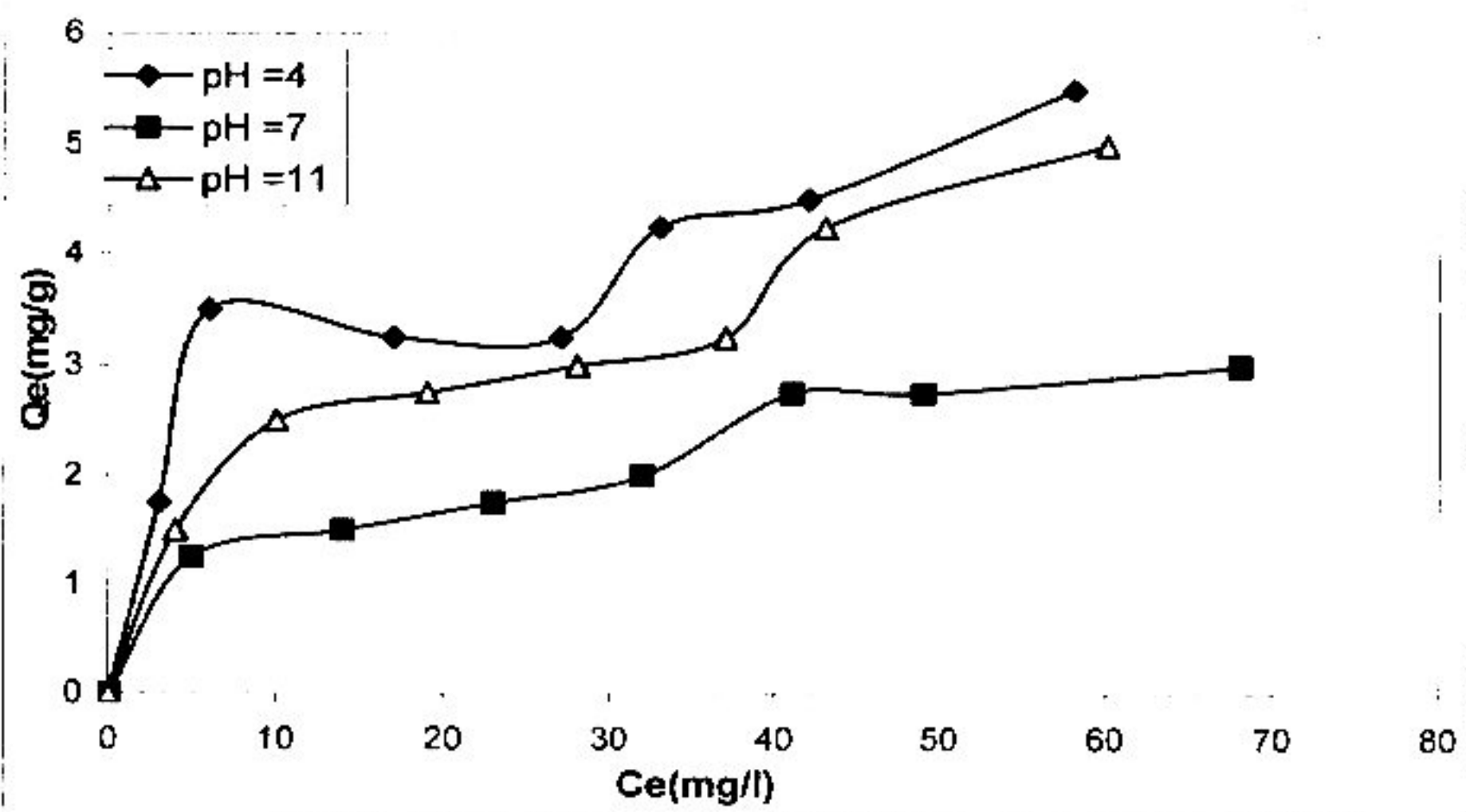
الشكل (٦) العلاقة بين $\log X_m$ ومقتوب درجة الحرارة



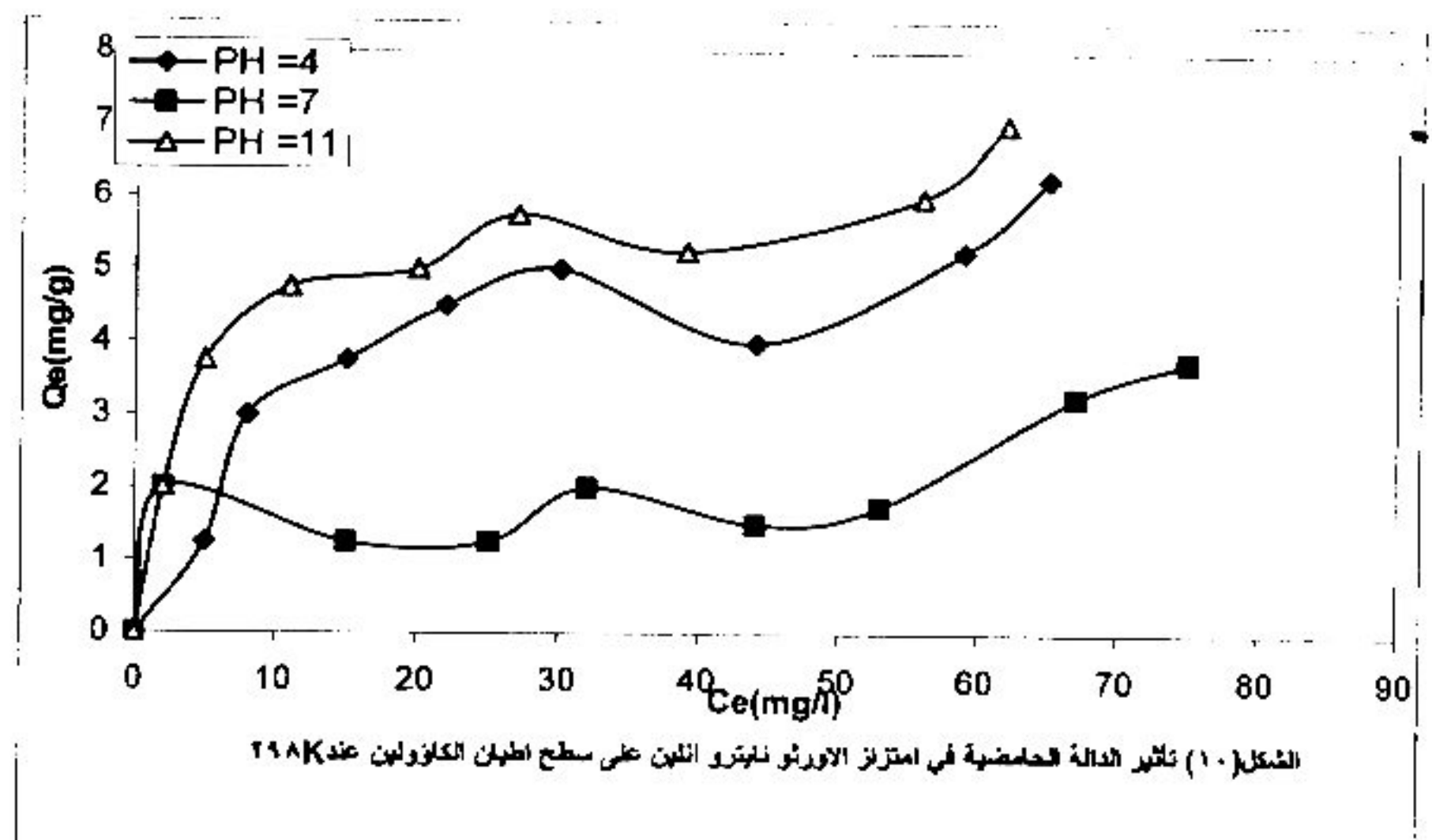
الشكل (٧) العلاقة بين $\log X_m$ ومقتوب درجة الحرارة



الشكل (٨) تأثير الدالة الحامضية في امتزاز الألين على سطح أطباق الكا زولون عند ٢٩٨K



الشكل(٩) تأثير الدالة الحامضية في امتصاص الاورثو توليدين على سطح اطباق الكاولين عند ٢٩٨K



الشكل(١٠) تأثير الدالة الحامضية في امتصاص الاورثو توليدين على سطح اطباق الكاولين عند ٢٩٨K

Ability of Kaoline Clays in Adsorption of Aniline,P-Nitro Aniline and O-Toluidine

Part 11

S.A..Isha, S.A. Hassan and K. G. Jahsim

Iraqi College of Medicine , University of Al-Nahrain
Department of Chemistry, College of Education for women, Kufa of University

Department of Chemistry, Al-Muthana College of Science, Unisversity of Al-Qadysia

Abstract

Adsorption of Aniline and some derivatives from aqueous solution on kaolin clays surface was investigated, The isotherms were of type S3 and S4 according to Giles Classification.

The effect of introducing electron withdrawing groups and electron donating

Groups in the aromatic ring on the adsorption process has been investigated ; The results showed that the extent of adsorption has been increased as a result of substitution of groups, and found that the derivatives were less in adsorption capacity than the adsorption capacity for the un substituted compound.

The effect of the type of the substituted group at the same site on the adsorption extent of aniline was found to decrease in the following order:

Aniline > o-nitro Aniline > o-Toluidine

Adsorption on kaolin surface was examined as a function of temperature in the range (298-328k) . The extent of adsorption was found to increase with the increase in temperature (Endothermic)

Adsorption studies on kaolin clays surface at different pH values showed an increase in the following order according to the pH of solution for aniline and o-tolu. idine :

pH 4 > 11 > 7

while for o-nitro Aniline showed increase in the following order:

pH 11 > 4 > 7